

IntroductionConclusions des cours précédents

- Le champ rayonné par un atome n'est pas un champ classique
- Autre manifestation (indirecte) de ce fait : échec de la théorie "néo-classique" de Jaynes, où l'on essaie de décrire l'émission spontanée comme due à l'interaction de l'atome avec un champ classique dont il serait la source
- Approche quantique (cours de la semaine précédente) : exprimer le champ arrivant sur le détecteur en fonction du dipôle émetteur \vec{D} (noter qu'on prend \vec{D} et non $\langle \vec{D} \rangle$). On est ainsi ramené au calcul d'une fonction de corrélation de \vec{D} qu'on évalue grâce à l'approximation de mémoire courte (vinage du champ du vide qui fluctue très vite)

Autre tentative "semi-classique"

Pourrait-on comprendre l'émission spontanée de l'atome en faisant intervenir uniquement une réaction de rayonnement purement atomique ?

Pourrait-on se passer du champ du vide ?

Objet des 4 derniers cours

Essayer de répondre à ces questions à partir d'une étude des équations de Heisenberg du système atome source + champ
Pourquoi les équations de Heisenberg ? Elles permettent de faire un parallèle très étroit entre physique classique et physique quantique.

Plan de ce cours

- 1 - Rappels sur les développements des champs en modes.
Introduction d'une coupure (Transparent T1)
- 2 - Modèle simple d'atome (T2)
(Beaucoup plus général que celui considéré page VII-2)
- 3 - Autre forme plus commode de l'hamiltonien à l'approximation dipolaire électrique (T3, T4, T5)
- 4 - Equations de Heisenberg pour le champ
Champ du vide et champ des sources (près et loin de la source) (T6 à T14)
- 5 - Equations de Heisenberg pour le dipôle
Analogie avec les équations classiques (T15 et T16)

T 1

Développement du champ en modes

$$\vec{A}(\vec{x}, t) = \sum_{\vec{k}} \sum_{\vec{\epsilon} \perp \vec{k}} \sqrt{\frac{\hbar}{2\epsilon_0 \omega L^3}} [a_{\vec{k}\vec{\epsilon}}(t) \vec{\epsilon} e^{i\vec{k} \cdot \vec{x}} + h.c.]$$

$$\vec{E}_{\perp}(\vec{x}, t) = \sum_{\vec{k}} \sum_{\vec{\epsilon} \perp \vec{k}} \sqrt{\frac{\hbar \omega}{2\epsilon_0 L^3}} [i a_{\vec{k}\vec{\epsilon}}(t) \vec{\epsilon} e^{i\vec{k} \cdot \vec{x}} + h.c.]$$

$$\underbrace{\sum_{\vec{k}}}_{NR} \underbrace{\sum_{\vec{\epsilon} \perp \vec{k}}}_{\vec{E}_{\perp}^{(+)}(\vec{x}, t)}$$

$$\omega = ck$$

$\vec{E} \perp \vec{k} \rightarrow$ champs "transverses"

Coupure à $k = k_M$

$$\int_0^{\infty} dk \rightarrow \int_0^{k_M} dk$$

$$k_0 \ll k_M \ll 1/a_0$$

↑ Fréquence optique ↑ a_0 : rayon de Bohr

Equivalence à un moyennage spatial des champs sur une sphère de rayon $1/k_M$.

T 3

Transformation unitaire U

$$U = \exp \left[-\frac{ie}{\hbar} \vec{r} \cdot \vec{A}(\vec{0}) \right]$$

U translate \vec{p}

$$U \vec{p} U^{\dagger} = \vec{p} + e \vec{A}(\vec{0})$$

$$U \frac{1}{2m_0} [\vec{p} - e \vec{A}(\vec{0})]^2 U^{\dagger} = \frac{\vec{p}}{2m_0}$$

grande simplification

U translate aussi a_i et a_i^{\dagger}

$$-\frac{ie}{\hbar} \vec{r} \cdot \vec{A}(\vec{0}) = \sum_i (p_i^{\dagger} a_i - p_i a_i^{\dagger})$$

$$p_i = \frac{ie}{\hbar} \sqrt{\frac{\hbar}{2\epsilon_0 \omega_i L^3}} \vec{\epsilon}_i \cdot \vec{r}$$

$$\begin{cases} U a_i U^{\dagger} = a_i + p_i \\ U a_i^{\dagger} U^{\dagger} = a_i^{\dagger} + p_i^{\dagger} \end{cases}$$

(Formule de Glauber)

T 2

VIII-2

Charge liée en $\vec{0}$

Hamiltonien du système charge + champ

$$H = \frac{1}{2m_0} [\vec{p} - e \vec{A}(\vec{r})]^2 + V(r) + H_R$$

m_0 : masse e : charge

\vec{r} et \vec{p} : position et impulsion

$V(\vec{r})$: potentiel liant la charge en $\vec{0}$

$$H_R = \sum_i \hbar \omega_i (a_i^{\dagger} a_i + \frac{1}{2})$$

$$\left(\sum_i = \sum_{\vec{k}} \sum_{\vec{\epsilon} \perp \vec{k}} \right)_{k < k_M}$$

Approximation dipolaire électrique

$$\frac{1}{2m_0} [\vec{p} - e \vec{A}(\vec{r})]^2 \rightarrow \frac{1}{2m_0} [\vec{p} - e \vec{A}(\vec{0})]^2$$

T 4

Transformation de H_R

$$U \sum_i \hbar \omega_i (a_i^{\dagger} a_i + \frac{1}{2}) U^{\dagger} =$$

$$\sum_i \hbar \omega_i [(a_i^{\dagger} + p_i^{\dagger})(a_i + p_i) + \frac{1}{2}] =$$

$$= \sum_i \hbar \omega_i (a_i^{\dagger} a_i + \frac{1}{2}) \leftarrow H_R \text{ (champ)}$$

$$+ \sum_i \hbar \omega_i (a_i^{\dagger} p_i + a_i p_i^{\dagger}) \leftarrow W_1 \text{ (champ + particule)}$$

$$+ \sum_i \hbar \omega_i p_i^{\dagger} p_i \leftarrow A_2 \text{ (particule)}$$

$$U H_R U^{\dagger} = H_R + W_1 + A_2$$

$$W_1 = -e \vec{r} \cdot \left[\sum_i \sqrt{\frac{\hbar \omega_i}{2\epsilon_0 L^3}} i \vec{\epsilon} a_i + h.c. \right]$$

$$= -e \vec{r} \cdot \vec{E}_{\perp}(\vec{0}) = -\vec{D} \cdot \vec{E}_{\perp}(\vec{0})$$

$$A_2 = \sum_i \hbar \omega_i \frac{\hbar}{2\epsilon_0 \omega_i L^3} \frac{e^2}{\hbar^2} (\vec{\epsilon}_i \cdot \vec{r})^2$$

$$= \frac{1}{6\epsilon_0 \pi^2} \vec{D}^2 \int_0^{k_M} k^2 dk = \frac{k_M^3}{18\epsilon_0 \pi^2} \vec{D}^2$$

Nouvel hamiltonien H'

$$H' = U H U^\dagger = \underbrace{\frac{\vec{p}^2}{2m_0} + V(\vec{r})}_{H_A} + \underbrace{\frac{\hbar^3}{18 \epsilon_0 \pi^2}}_{\text{"Self-énergie" atomique}} \vec{D}^2 + H_R - \underbrace{\vec{D} \cdot \vec{E}_\perp(\vec{0}, t)}_{\text{Interaction}}$$

Avantages

- 1 - Terme d'interaction très simple
- 2 - Élimination des précurseurs instantanés du champ transverse

Références

- Cours 1974-75
- E.A. POWER, T. THIRUNAMACHANDRAN
Am. J. Phys. 46, 370 (1978)
et références in

Calcul du champ $\vec{E}_\perp(\vec{x}, t)$

Report de la solution trouvée pour $a_{kE}(t)$ dans le développement en mode de $\vec{E}_\perp(\vec{x}, t)$

$$E_i(\vec{x}, t) = E_{oi}(\vec{x}, t) \leftarrow \text{champ du vide} + \underbrace{\int_0^{t-t_0} d\tau F_{ij}(\vec{x}, \tau) D_j(t-\tau)}_{\text{Champ des sources}}$$

Expression du tenseur $F_{ij}(\vec{x}, \tau)$

$$F_{ij}(\vec{x}, \tau) = \frac{i}{\hbar} \sum_{\vec{k}} \sum_{\vec{E} \perp \vec{k}} E_i E_j V_k^2 e^{i(\vec{k} \cdot \vec{x} - \omega \tau)} + c.c.$$

Calcul fait en appendice (pages VII-9 et VII-10)

Equations du mouvement des a_{kE}

Autre manière ("hamiltonienne") d'écrire les équations de Maxwell en présence des sources atomiques.

$$i\hbar \frac{d}{dt} a_{kE}(t) = [a_{kE}(t), H'] = [a_{kE}(t), H_R] + [a_{kE}(t), -\vec{D} \cdot \vec{E}_\perp(\vec{0}, t)]$$

$$\hbar \omega a_{kE}(t) \quad i N_k \vec{E} \cdot \vec{D}(t)$$

$$\frac{d}{dt} a_{kE}(t) = -i\omega a_{kE}(t) + \frac{N_k}{\hbar} E_j D_j(t)$$

Equation linéaire en a_{kE}

$$a_{kE}(t) = a_{kE}(t_0) e^{-i\omega(t-t_0)} + \frac{N_k}{\hbar} \int_0^{t-t_0} d\tau E_j D_j(t-\tau) e^{-i\omega \tau}$$

↑ Contribution du vide
↑ Contribution des sources

Même résultat qu'en électromagnétisme classique

Quelques formules utiles pour ce calcul

① Sommation sur les polarisations transverses

$(\vec{E}, \vec{E}', \frac{\vec{k}}{k})$: Base orthonormée

↳ Relation de fermeture

$$E_i E_j + E'_i E'_j + \frac{k_i k_j}{k^2} = \delta_{ij}$$

$$\sum_{\vec{E} \perp \vec{k}} E_i E_j = \delta_{ij} - \frac{k_i k_j}{k^2}$$

$$\textcircled{2} \left(\delta_{ij} - \frac{k_i k_j}{k^2} \right) e^{i\vec{k} \cdot \vec{x}} = \left(\delta_{ij} + \frac{1}{k^2} \frac{\partial^2}{\partial x_i \partial x_j} \right) e^{i\vec{k} \cdot \vec{x}}$$

$$\textcircled{3} \sum_{\vec{k} < k_m} = \frac{L^3}{(2\pi)^3} \int_0^{k_m} k^2 dk \int d\Omega$$

T 9

Exemple : calcul de $F_{ij}(\vec{0}, \tau)$

$$F_{ij}(\vec{0}, \tau) = \frac{i}{\hbar} \sum_{\vec{k} \in \mathbb{R}^3} \epsilon_i \epsilon_j \frac{\hbar \omega}{2 \epsilon_0 L^3} e^{-i\omega \tau} + c.c.$$

$$= \frac{1}{\epsilon_0 L^3} \sum_{\vec{k} \in \mathbb{R}^3} \epsilon_i \epsilon_j \omega \sin \omega \tau$$

$$\sum_{\vec{k} \in \mathbb{R}^3} \epsilon_i \epsilon_j = \delta_{ij} - \frac{k_i k_j}{k^2}$$

$$\int d\Omega (\delta_{ij} - \frac{k_i k_j}{k^2}) = 4\pi \frac{2}{3} \delta_{ij} = \frac{8\pi}{3} \delta_{ij}$$

$$F_{ij}(\vec{0}, \tau) = \frac{\delta_{ij}}{\epsilon_0 (2\pi)^3} \frac{8\pi c}{3} \int_0^{k_M} dk k^3 \sin \omega \tau$$

$$= \frac{2}{3} \frac{\delta_{ij}}{\epsilon_0 c^3} \frac{1}{(2\pi)^2} \underbrace{\int_{-ck_M}^{+ck_M} d\omega \omega^3 \sin \omega \tau}_{\frac{d^3}{d\tau^3} \int_{-ck_M}^{+ck_M} d\omega \cos \omega \tau}$$

$$= \frac{1}{3\pi \epsilon_0 c^3} \ddot{\delta}(\tau)$$

T 10

VIII-4

Résultat du calcul de $F_{ij}(\vec{x}, \tau)$ Pour $x \gg 1/k_M$

$$4\pi \epsilon_0 F_{ij}(\vec{x}, \tau) = \frac{1}{r} (\delta_{ij} - \frac{x_i x_j}{x^2}) \left[-\frac{1}{c^2} \ddot{\delta}(\tau - \frac{x}{c}) + \frac{1}{c^2} \ddot{\delta}(\tau + \frac{x}{c}) \right] + \frac{1}{r^2} (\delta_{ij} - \frac{3x_i x_j}{x^2}) \left[-\frac{1}{c} \dot{\delta}(\tau - \frac{x}{c}) - \frac{1}{c} \dot{\delta}(\tau + \frac{x}{c}) \right] - \frac{1}{r^3} (\delta_{ij} - \frac{3x_i x_j}{x^2}) \left[\delta(\tau - \frac{x}{c}) - \delta(\tau + \frac{x}{c}) \right]$$

Pour $x \ll 1/k_M$ $F_{ij}(\vec{x}, \tau) \approx F_{ij}(\vec{0}, \tau)$

$$F_{ij}(\vec{0}, \tau) = \frac{1}{3\pi \epsilon_0 c^3} \delta_{ij} \ddot{\delta}(\tau)$$

Les fonctions "δ" ont une largeur finie, due à la coupure à k_M

$$\delta(\tau) = \frac{1}{2\pi} \int_{-ck_M}^{+ck_M} e^{i\omega \tau} d\omega$$

Largeur $\sim 1/ck_M$

T 11

Champ rayonné par le dipôle au loin ($x \gg 1/k_M$)

$$E_i(\vec{x}, \tau) - E_{oi}(\vec{x}, \tau) =$$

$$- \frac{1}{4\pi \epsilon_0 c^2} \frac{1}{x} (\delta_{ij} - \frac{x_i x_j}{x^2}) \ddot{D}_j(t - \frac{x}{c})$$

$$- \frac{1}{4\pi \epsilon_0 c} \frac{1}{x^2} (\delta_{ij} - \frac{3x_i x_j}{x^2}) \dot{D}_j(t - \frac{x}{c})$$

$$- \frac{1}{4\pi \epsilon_0} \frac{1}{x^3} (\delta_{ij} - \frac{3x_i x_j}{x^2}) D_j(t - \frac{x}{c})$$

Effets de retard

Dépendance angulaire

Dépendance de la distance

Cas d'un dipôle harmonique $\omega_0 = ck_0$

$$k_0 x \gg 1 \quad E \sim 1/x$$

$$k_0 x \ll 1 \quad E \sim 1/x^3$$

T 12

Champ rayonné par le dipôle à son propre emplacement ($x \ll 1/k_M$)

$$\delta E_i(\vec{x}, \tau) = E_i(\vec{x}, \tau) - E_{oi}(\vec{x}, \tau) =$$

$$\frac{1}{3\pi \epsilon_0 c^3} \int_0^{t-t_0} d\tau \ddot{\delta}(\tau) D_i(t-\tau)$$

Intégration par parties successive

$$\int_0^{t-t_0} d\tau \ddot{\delta}(\tau) D_i(t-\tau) = \left[\dot{\delta}(\tau) D_i(t-\tau) \right]_0^{t-t_0}$$

$$+ \int_0^{t-t_0} d\tau \delta(\tau) \dot{D}_i(t-\tau) = -\dot{\delta}(0) D_i(t)$$

$$\int_0^{t-t_0} d\tau \ddot{\delta}(\tau) \dot{D}_i(t-\tau) = \left[\delta(\tau) \dot{D}_i(t-\tau) \right]_0^{t-t_0}$$

$$+ \int_0^{t-t_0} \dot{\delta}(\tau) \ddot{D}_i(t-\tau) = 0 \quad (\delta \text{ impaire})$$

$$\int_0^{t-t_0} \dot{\delta}(\tau) \ddot{D}_i(t-\tau) = \left[\delta(\tau) \ddot{D}_i(t-\tau) \right]_0^{t-t_0}$$

$$+ \int_0^{t-t_0} \delta(\tau) \dddot{D}_i(t-\tau) = -\delta(0) \ddot{D}_i(t)$$

$$= \frac{1}{2} \ddot{D}_i(t)$$

T 13

En regroupant tout,

$$\int_0^t d\tau \ddot{S}(\tau) D_i(t-\tau) =$$

$$- \ddot{S}(0) D_i(t) - S(0) \ddot{D}_i(t) + \frac{1}{2} \ddot{D}_i(t)$$

$$\text{De } S(\tau) = \frac{1}{2\pi} \int_{-ck_m}^{+ck_m} e^{i\omega\tau} d\omega,$$

on tire

$$S(0) = \frac{ck_m}{\pi} \quad \ddot{S}(0) = -\frac{c^3 k_m^3}{3\pi}$$

ce qui donne finalement

$$\delta \vec{E}(\vec{o}, t) = \vec{E}(\vec{o}, t) - E_0(\vec{o}, t) =$$

$$\frac{e^2 k_m^3}{9\pi^2 \epsilon_0} \vec{r}(t) - \frac{ek_m}{3\pi^2 \epsilon_0 c^2} \ddot{\vec{r}}(t) + \frac{e}{6\pi \epsilon_0 c^3} \ddot{\vec{r}}(t)$$

T 15

Equation du mouvement de la charge

$$\frac{d\vec{r}}{dt} = \frac{1}{i\hbar} [\vec{r}, H'] = \frac{\partial H'}{\partial \vec{p}} = \frac{\vec{p}}{m_0}$$

$$\frac{d\vec{p}}{dt} = m_0 \frac{d^2 \vec{r}}{dt^2} = \frac{1}{i\hbar} [\vec{p}, H']$$

$$\frac{1}{i\hbar} [\vec{p}, V(\vec{r})] = -\vec{\nabla} V(\vec{r})$$

$$\frac{1}{i\hbar} [\vec{p}, \vec{D}^2] = \frac{e^2}{i\hbar} [\vec{p}, \vec{r}^2] = -2e^2 \vec{r}$$

$$\hookrightarrow \frac{1}{i\hbar} [\vec{p}, \frac{k_m^3}{18\epsilon_0 \pi^2} \vec{D}^2] = -\frac{e^2 k_m^3}{9\epsilon_0 \pi^2} \vec{r}$$

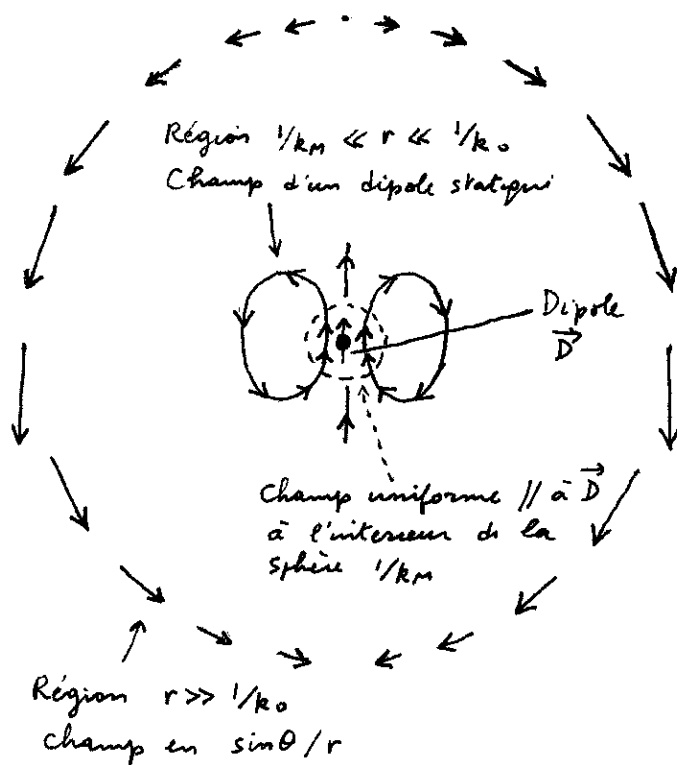
$$\frac{1}{i\hbar} [\vec{p}, \vec{D} \cdot \vec{E}(\vec{o})] = -\frac{e}{i\hbar} \vec{E}(\vec{o}) \underbrace{[\vec{p}, \vec{r}]}_{-i\hbar}$$

$$= e \vec{E}(\vec{o})$$

T 14

VIII-5

Allure de la répartition spatiale du champ du dipôle



T-16

En regroupant tout

$$m_0 \ddot{\vec{r}} = -\vec{\nabla} V(\vec{r}) - \frac{e^2 k_m^3}{9\epsilon_0 \pi^2} \vec{r} + e \vec{E}(\vec{o})$$

Or, d'après le calcul précédent (T 13)

$$e \vec{E}(\vec{o}) = e \vec{E}_0(\vec{o}) \leftarrow \text{Champ du vide}$$

$$+ \frac{e^2 k_m^3}{9\epsilon_0 \pi^2} \vec{r} - \frac{e^2 k_m}{3\pi^2 \epsilon_0 c^2} \ddot{\vec{r}} + \frac{e^2}{6\pi \epsilon_0 c^3} \ddot{\vec{r}}$$

Champ de la source à son emplacement

Finalement

$$m_0 \ddot{\vec{r}} = -\vec{\nabla} V(\vec{r}) \leftarrow \text{Force liante}$$

$$+ e \vec{E}_0(\vec{o}, t) \leftarrow \text{Force due au champ du vide}$$

$$+ \frac{e^2}{4\pi \epsilon_0} \frac{2}{3c^2} \ddot{\vec{r}}(t) \leftarrow \text{Freinage du à la réaction de rayonnement}$$

$$- \frac{e^2 k_m}{3\pi^2 \epsilon_0 c^2} \ddot{\vec{r}} \leftarrow \text{Inertie due à la réaction de rayonnement}$$

Masse "expérimentale" m

$$m = m_0 + \frac{e^2 k_m}{3\pi^2 \epsilon_0 c^2}$$